

## 베지어 곡선과 곡면의 립과 팬

이주행\*, 박형준\*\*

### Ribs and Fans of Bézier Curves and Surfaces

Lee, J.-H.\* and Park, H.J.\*\*

#### ABSTRACT

Ribs and fans are interesting geometric entities that are derived from an ordinary Bézier curve or surface. A rib itself is a Bézier curve or surface with a lower degree than the given curve or surface. A fan is a vector field whose degree is also lower than its origin. First, we present methods to transform the control points of a Bézier curve or surface into the control points and vectors of its ribs and fans. Then, we show that a Bézier curve of degree  $n$  is decomposed into a rib of degree  $(n-1)$ , a fan of degree  $(n-2)$ , and a scalar function of degree 2. We also show that a Bézier surface of degree  $(m, n)$  is decomposed into a rib of degree  $(m-1, n-1)$  and three fans of degrees  $(m-1, n-2)$ ,  $(m-2, n-1)$ , and  $(m-2, n-2)$ , respectively. In addition, the lengths of the fans are further controlled by scalar functions of degree 2 and  $(2, 2)$ . We present relevant notations and definitions, introduce theories, and present some of design examples.

**Key words** : Rib, Fan, Bézier curve and surface, Decomposition

#### 1. 서 론

베지어 곡선과 곡면은 CAGD 이론 중 가장 전통 있고 널리 알려진 이론중의 하나이다. 이 이론은 그래픽 컴퓨터 기반의 전문적인 CAD 툴에서 플래시<sup>TM</sup> 뷰어가 내장된 모바일 단말기에 이르기 까지 수 많은 GUI 기반 응용과 다양한 디바이스 장치에 구현되어 있다(실로 베지어 이론의 구현은 유비쿼터스하다고 할 수 있다!). 이러한 인기는 NURBS와 같은 강력한 후계자들도 아직 따라오지 못하고 있다. 이는 아마도 베지어 곡선/곡면의 구조적인 단순함에 비해 상대적으로 풍부한 표현력에 있어 보인다. 또한, 베지어 곡선/곡면은 매력적인 기하학적 성질들이 많이 갖고 있다. 예를 들어, affine invariance, convex hull, variation diminishing property<sup>[1,2]</sup> 등을 들 수 있다.

본 논문에서는 베지어 곡선과 곡면의 새로운 성질, 즉 립(rib)과 팬(fan)을 소개하고, 주어진 베지어 곡선

과 곡면을 팬과 립으로 분해하는 방법을 제시한다(특별히 이름을 립과 팬으로 한 것은, Fig. 3에서처럼 주어진 곡선을 기준으로 늑골(rib)이나 부챗살(fan) 모양의 패턴이 생성되기 때문이다.).

림은 그 자체가 베지어 곡선 또는 곡면이며 주어진 곡선 또는 곡면 보다 차수(degree)가 낮다. 팬 역시 차수가 낮은 벡터 필드이다. 또한, 팬과 립의 제어점과 제어벡터는 주어진 베지어 곡선과 곡면의 원래 제어점을 변환하여 얻을 수 있음을 보인다. 차수  $n$ 의 베지어 곡선은  $(n-1)$ 차 립과  $(n-2)$ 차 팬으로 분해 가능하다.  $(m, n)$ 차의 베지어 곡면은  $(m-1, n-1)$ 차의 립 한 개와 각각  $(m-1, n-2)$ ,  $(m-2, n-1)$ ,  $(m-2, n-2)$ 차의 세 개의 팬으로 분해 가능하다. 추가적으로 각 팬에는 고유의 스칼라 함수가 곱해져 팬 벡터들의 길이를 조정한다. 최종적으로 립과 길이 조정된 팬들을 모두 더하면 주어진 베지어 곡선과 곡면을 얻을 수 있다. 본 논문에서는 필요한 기호와 정의를 설명하고 이론을 설명한 후에 실제 디자인 예제들을 보인다.

본 논문은 다음과 같이 구성되어 있다. 2장에서는 이론 전개를 위해 필요한 베지어 곡선의 성질 몇 가지를 살펴본다. 또한, 새로운 개념 설명을 위해 기호와 정의를 제시한다. 마지막으로 베지어 곡선과 곡면의

\*교신저자, 정회원, 한국전자통신연구원, 디지털콘텐츠 연구단

\*\*중신회원, 조선대학교, 산업공학과

- 논문투고일: 2005. 02. 14

- 심사완료일: 2006. 01. 27

립과 팬 이론을 설명한다. 3장에서는 립과 팬의 기하학적인 특징을 잘 보여주는 몇 가지 디자인 예제들을 소개한다. 마지막으로 4장에서 본 논문을 맺는다.

## 2. 립과 팬

이 장에서는 베지어 곡선과 곡면의 립과 팬을 설명하기 위해 필요한 기하학적 성질을 살펴보고, 새로운 기호 및 정의를 제시하고, 마지막으로 립과 팬에 대해서 자세히 설명하기로 한다.

### 2.1 관련 성질

일반적으로 차수  $n$ 의 베지어 곡선  $C^n(t)$ 는 주어진 제어점  $\mathbf{b}_i$ 와 번슈타인 다항식  $B_i^n(t)$ 에 대해서  $C(t) = \sum_{i=0}^n \mathbf{b}_i B_i^n(t)$ 로 정의된다. 즉, 베지어 곡선은 제어점  $\mathbf{b}_i$

들을  $B_i^n(t)$ 을 가중치로 하여 선형 조합한 것이다. 번슈타인 다항식은 다음과 같이 재귀적으로 정의된다.

$$B_i^{n+1}(t) = (1-t)B_i^n(t) + tB_{i-1}^n(t) \quad (1)$$

식 (1)은 차수가 하나 차이 나는 두 번슈타인 다항식들 사이의 재귀적인 관계를 나타내고 있다. 더 큰 차수 차이에 대한 재귀 관계를 알고 싶다면 식 (1)을 반복적으로 적용하여 구할 수 있다. 예를 들어, 차수가 둘 차이 나는  $B_i^{n+1}(t)$ 와  $B_{i-2}^{n-1}(t)$ 의 관계는 다음과 같이 구할 수 있다.

$$\begin{aligned} B_i^{n+1}(t) &= (1-t)^2 B_{i-1}^{n-1}(t) + 2(1-t)t B_{i-1}^{n-1}(t) + t^2 B_{i-2}^{n-1}(t) \\ &= \sum_{j=0}^2 B_j^2(t) B_{i-j}^{n-1}(t) \end{aligned} \quad (2)$$

식 (1)-(2)에서는 두 개 이상의 낮은 차수의 다항식으로 높은 차수의 다항식을 정의했다. 아래 관계식은 한 개의 낮은 차수의 다항식으로 높은 차수의 다항식을 정의한다.

$$B_i^n(t) = \frac{n}{n-1}(1-t)B_i^{n-1}(t), \quad 0 \leq i < n \quad (3)$$

$$B_i^n(t) = \frac{n}{i}tB_{i-1}^{n-1}(t), \quad 0 < i \leq n \quad (4)$$

식 (1)-(4)의 관계식은 번슈타인 다항식의 잘 알려진 성질들이다<sup>[1]</sup>.

### 2.2 곡선의 경우

이 절에서는 먼저 베지어 곡선의 립과 팬에 대해서

설명한다(2.3절에서 베지어 곡면의 경우에 대해서 설명한다). 먼저, 몇 가지 표현기호를 설명하고, 주어진 제어점을 변환하여 립의 제어점과 팬의 제어벡터를 구하는 방법을 설명한다. 마지막으로, 주어진 베지어 곡선을 립과 팬으로 분해하는 방법을 설명한다.

#### 2.2.1 립과 제어점

주어진  $n$ 차 베지어 곡선의 제어점으로부터  $n$ 차 립의 제어점을 다음과 같이 정의한다.  $\mathbf{b}_i = \mathbf{r}_i^n (0 \leq i \leq n)$ . (즉, 주어진 곡선이 최상위 차의 립이다.)

$k$ 차 립의 제어점을 다음과 같이 재귀적으로 정의한다.

$$\mathbf{r}_i^k = \begin{cases} \frac{(k-i)}{k} \mathbf{r}_i^{k+1} + \frac{i}{k} \mathbf{r}_{i+1}^{k+1} & \text{for } 1 \leq k < n \\ \mathbf{b}_i & \text{for } k = n \end{cases} \quad (5)$$

이러한 립 제어점을 베지어 곡선의 정의에 이용하여  $k$ 차의 베지어 곡선  $\mathbf{R}^k(t)$ 을 정의할 수 있다.

$$\mathbf{R}^k(t) = \sum_{i=0}^k \mathbf{r}_i^k B_i^k(t) \quad \text{for } 1 \leq k \leq n \quad (6)$$

위 베지어 곡선은 일반적인 베지어 곡선이지만 한 가지 특징은 ( $1 \leq k < n$ 인 경우에) 명시적인 상위 차수 곡선  $\mathbf{R}^{k+1}(t)$ 이 존재한다는 것이다. 이렇게 정의된 낮은 차수의 베지어 곡선을 높은 차수 베지어 곡선의 립이라고 한다. 가장 낮은 차수의 립은 립 제어점  $\mathbf{r}_0^1$ 과  $\mathbf{r}_1^1$ 을 연결하는 직선이다. 가장 높은 차수의 립은 주어진 곡선 자체라고 볼 수 있다.  $\mathbf{R}^n(t) \equiv C^n(t)$ .  $1 \leq k < n$ 일 때,  $k$ 차 립은 언제나 주어진 두 끝점 ( $\mathbf{r}_0^n$ 과  $\mathbf{r}_n^n$ )을 지나는 베지어 곡선이다.

#### 2.2.2 팬과 제어벡터

차수  $k$ 의 팬 제어벡터  $\mathbf{f}_i^k$ 는 차수  $(k+2)$ 의 인접한 세 개의 립 제어점들(즉,  $\mathbf{r}_i^{k+2}, \mathbf{r}_{i+1}^{k+2}, \mathbf{r}_{i+2}^{k+2}$ )로 다음과 같이 정의 된다.

$$\mathbf{f}_i^k = \mathbf{r}_{i+1}^{k+2} - \frac{1}{2}(\mathbf{r}_i^{k+2} + \mathbf{r}_{i+2}^{k+2}), \quad (0 \leq k \leq n-2) \quad (7)$$

위의 팬 제어벡터를 베지어 곡선의 정의에 이용하여 다음과 같이 벡터 필드를 정의할 수 있다.

$$\mathbf{F}^k(t) = \sum_{i=0}^k \mathbf{f}_i^k B_i^k(t), \quad (0 \leq k \leq n-2) \quad (8)$$

식 (8)의 벡터 필드를 주어진 베지어 곡선 또는 립  $\mathbf{R}^{k+2}(t)$ 의 팬이라고 정의한다. 가장 낮은 차수의 팬

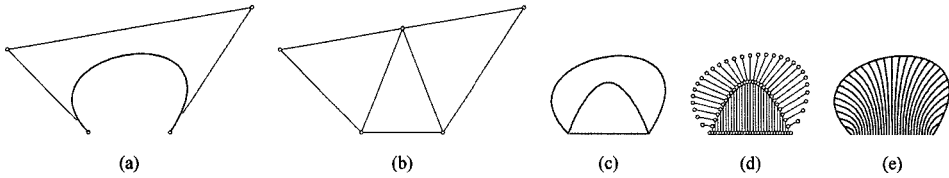


Fig. 1. 베지어 곡선의 립과 팬을 생성하는 과정: (a) 주어진 곡선  $C^3(t) \equiv R^3(t)$ 과 제어점  $\{b_i\}$ ; (b) 서로 다른 세 차수의 립 제어점들  $\{r_i^1 = b_i\}, \{r_i^2\}, \{r_i^3\}$ ; (c) (b)의 립 제어점으로 정의되는 일련의 립들  $R^3(t), R^2(t), R^1(t)$ , (d) 팬  $F^0(t)$  과  $F^1(t)$ 의 샘플 벡터들; (e) 팬 곡선들.

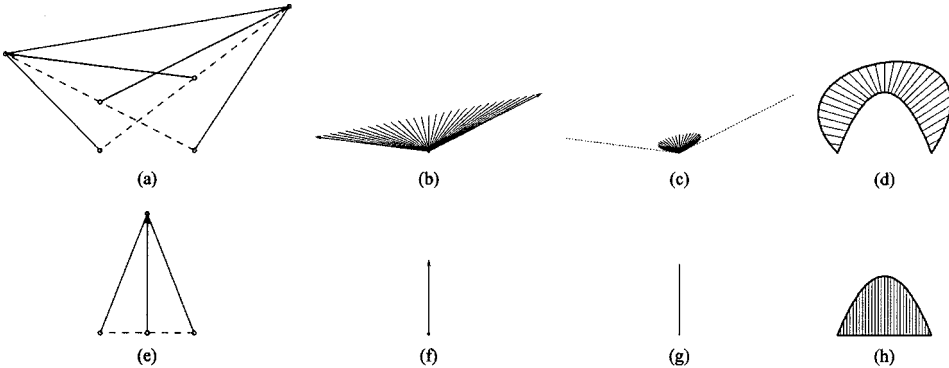


Fig. 2. 3차 베지어 곡선으로부터 팬을 구하는 절차: (a)  $r_i^1$  (정색)를 이용한 두 팬 제어벡터  $f_0^1$ 와  $f_1^1$ 에 대한 상의 (적색); (b) 팬  $F^1(t)$ 의 샘플 벡터들; (c) (b)의 결과를  $2t(1-t)$  만큼 크기 조절; (d) 두 개의 립( $R^3(t)$ 과  $R^2(t)$ )과 그 사이에 그려진 팬 벡터 필드  $2t(1-t)F^1(t)$ 의 샘플들; (e)  $r_i^2$ 를 이용한 팬 제어벡터  $f_0^2$ 의 정의; (f) 팬  $F^0(t)$ 의 샘플들은 항상  $f_0^2$ 와 같음을 보여줌; (g) (f)의 결과를  $2t(1-t)$  만큼 크기 조절; (h) 두 개의 립( $R^2(t)$ 과  $R^1(t)$ )과 그 사이에 그려진 팬 벡터 필드  $2t(1-t)F^1(t)$ 의 샘플들.

인  $F^0(t)$ 는 세 개의 제어점으로 정의되는 고정된 벡터이다(Fig. 2(c) 참조).

Fig. 1은 2.2절에서 정의된 개념들을 요약하여 보여주고 있다. Fig. 1(b)는 위로부터 각각 3차, 2차, 1차 곡선의 제어 다각형들을 보여주고, Fig. 1(c)는 각 제어 다각형에 해당하는 베지어 곡선들을 보여주고 있다. Fig. 1(c)에서 부채살 모양의 곡선은 모두 2차 베지어 곡선이다. 이 곡선의 제어점은 서로 다른 세 개의 립에서 같은 매개변수 값에 해당하는 세 개의 점들(즉,  $R^3(t_j), R^2(t_j), R^1(t_j)$ )이다. 이런 방식으로 립들의 점을 제어점으로 정의되는 곡선을 팬 곡선이라고 한다. Fig. 2는 팬 벡터 필드를 정의하는 과정을 요약하여 보여주고 있다.

2.2.3 베지어 곡선의 립과 팬

이 절에서는 식 (5)-(8)의 정의를 이용하여  $n$ 차의 베지어 곡선을  $(n-1)$ 차의 립과 다항식  $2t(1-t)$ 로 길이가 조절되는  $(n-2)$ 차의 팬으로 분해하는 방법을 제시하고 이를 증명한다.

**Theorem 1.** (베지어 곡선의 립과 팬) 차수  $n \geq 2$ 의 베지어 곡선  $R^n(t)$ 은  $(n-1)$ 차 립  $R^{n-1}(t)$ 과

$2t(1-t)$ 로 길이가 조절되는  $(n-2)$ 차 팬  $F^{n-2}(t)$ 로 분해된다.

$$R^n(t) = R^{n-1}(t) + 2t(1-t)F^{n-2}(t) \tag{9}$$

**증명:** 수학적 귀납법을 이용하여 식 (9)를 증명하기로 한다. 먼저 첫 단계로,  $n=2$ 일 때,  $R^2(t)$ 의 제어점  $\{b_i = r_i^2\}$  ( $0 \leq i \leq 2$ )이 주어져 있다고 하자. 식 (5)에 의해,  $R^1(t)$ 의 제어점  $\{r_i^1\}$ 은 다음과 같다:  $r_0^1 = r_0^2, r_1^1 = r_2^2$ . 따라서, 립  $R^1(t)$ 은 다음과 같이 표현된다.

$$R^1(t) = \sum_{i=0}^1 r_i^1 B_i^1(t) = (1-t)r_0^2 + tr_2^2 \tag{10}$$

식 (7)에 의해, 0차의 팬 제어벡터는 다음과 같다:  $f_0^0 = r_1^2 - \frac{1}{2}(r_0^2 + r_2^2)$ . 따라서, 0차의 팬은 고정벡터이며 제어벡터와 일치한다:

$$F^0(t) = f_0^0 = r_1^2 - \frac{1}{2}(r_0^2 + r_2^2) \tag{11}$$

식 (10)-(11)을 식 (9)에 대입하여, 귀납법의 첫 단계가 다음과 같이 성립함을 알 수 있다:

$$\begin{aligned}
 \mathbf{R}^1(t) + 2t(1-t)\mathbf{F}^0(t) &= \frac{1}{k} \left( \sum_{i=0}^{k-1} (k-i) r_i^{k+1} \frac{k}{k-i} (1-t) B_i^{k-1}(t) \right) \\
 &= (1-t)r_0^2 + tr_2^2 + 2t(1-t) \left( r_1^2 - \frac{1}{2}(r_0^2 + r_2^2) \right) \\
 &= (1-t)^2 r_0^2 + 2t(1-t)r_1^2 + t^2 r_2^2 \\
 &= \sum_{i=0}^2 r_i^2 B_i^2(t) = \mathbf{R}^2(t) \tag{12}
 \end{aligned}$$

다음 단계로,  $n = k$ 일 때 다음과 같은 귀납적 가정이 성립한다고 하자:

$$\mathbf{R}^k(t) = \mathbf{R}^{k-1}(t) + 2t(1-t)\mathbf{F}^{k-2}(t) \tag{13}$$

다음으로 식 (13)의 귀납적 가정이  $n = k+1$ 에 대해서도 다음과 같이 성립함을 보이기로 한다:

$$\mathbf{R}^{k+1}(t) = \mathbf{R}^k(t) + 2t(1-t)\mathbf{F}^{k-1}(t) \tag{14}$$

식 (2)을 이용하면  $(k+1)$  차의 베지어 곡선을  $(k-1)$  차의 변슈타인 곡선을 이용하여 표현할 수 있다. 따라서 식 (14)의  $\mathbf{R}^{k+1}(t)$  은 다음과 같이 표현 가능하다:

$$\begin{aligned}
 \mathbf{R}^{k+1}(t) &= \sum_{i=0}^{k+1} r_i^{k+1} B_i^{k+1}(t) \\
 &= \sum_{i=0}^{k+1} r_i^{k+1} \left( \sum_{j=0}^2 B_j^2(t) B_{i-j}^{k-1}(t) \right) \tag{15}
 \end{aligned}$$

식 (5)과 식 (3)-(4)을 이용하여 식 (14)의  $\mathbf{R}^k(t)$  을 다음과 같이 표현할 수 있다:

$$\begin{aligned}
 \mathbf{R}^k(t) &= \sum_{i=0}^k r_i^k B_i^k(t) = \frac{1}{k} \sum_{i=0}^k ((k-i)r_i^{k+1} + ir_{i+1}^{k+1}) B_i^k(t) \\
 &= \frac{1}{k} \left( \sum_{i=0}^k (k-i) r_i^{k+1} B_i^k(t) \right) + \frac{1}{k} \left( \sum_{i=0}^k i r_{i+1}^{k+1} B_i^k(t) \right)
 \end{aligned}$$

$$\mathbf{R}^{k+1}(t) = \sum_{i=0}^{k-1} \left( \sum_{j=0}^2 r_{i+j}^{k+1} B_j^2(t) \right) B_i^{k-1}(t)$$

$$= \left[ \begin{array}{l} r_0^{k+1} B_0^2(t) B_0^{k-1}(t) + r_1^{k+1} B_1^2(t) B_0^{k-1}(t) + r_2^{k+1} B_2^2(t) B_0^{k-1}(t) \\ \quad + r_1^{k+1} B_0^2(t) B_1^{k-1}(t) + r_2^{k+1} B_1^2(t) B_1^{k-1}(t) + \dots \\ \quad \quad \quad + r_2^{k+1} B_0^2(t) B_2^{k-1}(t) + \dots \\ \quad \quad \quad \quad + r_{k-1}^{k+1} B_2^2(t) B_{k-3}^{k-1}(t) \quad \dots \\ \dots + r_{k-1}^{k+1} B_1^2(t) B_{k-2}^{k-1}(t) + r_k^{k+1} B_2^2(t) B_{k-2}^{k-1}(t) \\ \dots + r_{k-1}^{k+1} B_0^2(t) B_{k-1}^{k-1}(t) + r_k^{k+1} B_1^2(t) B_{k-1}^{k-1}(t) + r_{k+1}^{k+1} B_2^2(t) B_{k-1}^{k-1}(t) \end{array} \right] \tag{19}$$

$$\begin{aligned}
 &= \frac{1}{k} \left( \sum_{i=0}^{k-1} (k-i) r_i^{k+1} \frac{k}{k-i} (1-t) B_i^{k-1}(t) \right) \\
 &\quad + \frac{1}{k} \left( \sum_{i=1}^k i r_{i+1}^{k+1} \frac{k}{i} t B_{i-1}^{k-1}(t) \right) \\
 &= \sum_{i=0}^{k-1} r_i^{k+1} (1-t) B_i^{k-1}(t) + \sum_{i=0}^{k-1} r_{i+2}^{k+1} t B_i^{k-1}(t) \\
 &= \sum_{i=0}^{k-1} ((1-t)r_i^{k+1} + tr_{i+2}^{k+1}) B_i^{k-1}(t) \tag{16}
 \end{aligned}$$

식 (7)-(8)에 의해, 식 (14)의  $\mathbf{F}^{k-1}(t)$  을 다음과 같이 표현할 수 있다:

$$\begin{aligned}
 \mathbf{F}^{k-1}(t) &= \sum_{i=0}^{k-1} r_i^{k-1} B_i^{k-1}(t) \\
 &= \sum_{i=0}^{k-1} \left( r_{i+1}^{k+1} - \frac{1}{2}(r_i^{k+1} + r_{i+2}^{k+1}) \right) B_i^{k-1}(t) \tag{17}
 \end{aligned}$$

식 (16)-(17)은 차수  $k$ 의 립과 차수  $(k-1)$ 의 팬을  $(k-1)$  차의 변슈타인 다항식과  $(k+1)$  차의 립 제어 점으로 표현할 수 있음을 보여준다. 식 (16)-(17)을 식 (14)에 대입하여 다음과 같이 전개할 수 있다:

$$\begin{aligned}
 \mathbf{R}^{k+1}(t) &= \mathbf{R}^k(t) + 2t(1-t)\mathbf{F}^{k-1}(t) \\
 &= \sum_{i=0}^{k-1} ((1-t)r_i^{k+1} + tr_{i+2}^{k+1}) B_i^{k-1}(t) \\
 &\quad + 2t(1-t) \sum_{i=0}^{k-1} \left( r_{i+1}^{k+1} - \frac{1}{2}(r_i^{k+1} + r_{i+2}^{k+1}) \right) B_i^{k-1}(t) \\
 &= \sum_{i=0}^{k-1} ((1-t)^2 r_i^{k+1} + 2t(1-t)r_{i+1}^{k+1} + t^2 r_{i+2}^{k+1}) B_i^{k-1}(t) \\
 &= \sum_{i=0}^{k-1} \left( \sum_{j=0}^2 r_{i+j}^{k+1} B_j^2(t) \right) B_i^{k-1}(t) \tag{18}
 \end{aligned}$$

식 (18)을 식 (19)과 같이 전개할 수 있다. 식 (19)의 우항의 행렬에서, 세 번째와 네 번째 열을 관찰하여 얻은 패턴을 이용하여 다음과 같이 식을 표현할 수 있다:

$$\begin{aligned} \mathbf{R}^{k+1}(t) &= \mathbf{r}_0^{k+1} \left( \sum_{j=0}^2 B_j^2(t) B_{0-j}^{k-1}(t) \right) + \mathbf{r}_1^{k+1} \left( \sum_{j=0}^2 B_j^2(t) B_{1-j}^{k-1}(t) \right) \\ &+ \dots + \mathbf{r}_i^{k+1} \left( \sum_{j=0}^2 B_j^2(t) B_{i-j}^{k-1}(t) \right) + \dots \\ &+ \mathbf{r}_k^{k+1} \left( \sum_{j=0}^2 B_j^2(t) B_{k-j}^{k-1}(t) \right) + \mathbf{r}_{k+1}^{k+1} \left( \sum_{j=0}^2 B_j^2(t) B_{k+1-j}^{k-1}(t) \right) \\ &= \sum_{i=0}^{k+1} \mathbf{r}_i^{k+1} \left( \sum_{j=0}^2 B_j^2(t) B_{i-j}^{k-1}(t) \right) \end{aligned} \quad (20)$$

위와 같은 표현을 위해서는 번슈타인 다항식의 인텍스의 성질을 이용하는 것이 중요하다(예를 들어,  $i \notin [0, k]$ 에 대해서  $B_i^k(t) = 0$ 가 성립하는 것). 마지막으로 식 (2)을 식 (20)에 적용하여 식 (15)의 귀납적 단계를 얻을 수 있다. 즉, 식 (13)의 귀납적 가정이  $n = k+1$ 에 대해서도 성립하는 것이다. 따라서, 정리가 성립한다고 할 수 있다. **Q.E.D.**

**Corollary 1.** 차수  $n \geq 2$ 의 베지어 곡선  $\mathbf{R}^n(t)$ 은  $l$ 차의 하나의 림과 차수  $(n-2)$ 에서  $(l-1)$ 까지의 일련의  $(n-l)$ 개의 팬으로 다음과 같이 분해될 수 있다:

$$\begin{aligned} \mathbf{R}^n(t) &= \mathbf{R}^l(t) + 2t(1-t) \sum_{k=l-1}^{n-2} \mathbf{F}^k(t) \\ &= \sum_{i=0}^l \mathbf{r}_i^l B_i^l(t) + 2t(1-t) \sum_{k=l-1}^{n-2} \sum_{i=k}^k \mathbf{r}_i^k B_i^k(t) \quad 1 \leq l \leq n-1 \end{aligned} \quad (21)$$

정리 1을 하위 림들에 연속적으로 적용하여 위와 같은 따름정리를 얻을 수 있다. 따름정리 1에 따르면, 예를 들어, 주어진 베지어 곡선  $\mathbf{R}^n(t)$ 은 선택한 하위 림의 차수에 따라 다음과 같이 다른 방법으로 분해될 수 있다:

$$\begin{aligned} \mathbf{R}^n(t) &= \mathbf{R}^{n-1}(t) + 2t(1-t)\mathbf{F}^{n-2}(t) \\ &= \mathbf{R}^{n-2}(t) + 2t(1-t)(\mathbf{F}^{n-2}(t) + \mathbf{F}^{n-3}(t)) \\ &= \mathbf{R}^{n-3}(t) + 2t(1-t)(\mathbf{F}^{n-2}(t) + \mathbf{F}^{n-3}(t) + \mathbf{F}^{n-4}(t)) \end{aligned} \quad (22)$$

또한, 따름정리 1에 의해 베지어 곡선  $\mathbf{R}^n(t)$ 은 하나의 신분, 즉  $\mathbf{R}^1(t)$ 과  $(n-1)$ 개의 팬으로 분해될 수 있다(Fig. 1(d), 3(e), 4(d) 참조).

### 2.3 곡면의 경우

베지어 곡면은 텐서곱 곡면이다. 따라서, 베지어 곡선에 대한 림과 팬 이론을 베지어 곡면으로 확장할 수 있다. 이 절에서는 베지어 곡면의  $u$ 와  $v$  방향으로 각각 베지어 곡선에 대한 림과 팬 분해를 적용하여 곡면의 림과 팬을 얻는 방법을 설명한다.

#### 2.3.1 표기법

일반적으로 차수  $(m, n)$ 의 베지어 곡면은 다음과 같은 텐서곱으로 표현된다:  $\mathbf{x}^{m,n}(u, v) = \sum_{i=0}^m \sum_{j=0}^n \mathbf{b}_{i,j} B_i^m(u)$

$B_j^n(v)$ .  $u$ 와  $v$ 는 실수 구간에서 정의되는 두 개의 독립 변수이다. 본 논문에서는 기존의 표기와 더불어 림과 팬 개념의 설명이 용이하도록 텐서곱 곡면에 대해서 약간 다른 표기법을 사용하기로 한다. 특히, 이 표기법은  $u$ 와  $v$  방향으로의 독립적인 분해의 중간과정을 잘 보여 줄 수 있다는 장점이 있다. 먼저 베지어 곡면의 제어점들이 크기  $(m+1) \times (n+1)$ 의 메쉬(또는 제어망)에 놓여 있고 각 제어점을  $\mathbf{r}_i^m \mathbf{s}_j^n = \mathbf{b}_{i,j}$ 와 같이 표기한다(단,  $0 \leq i \leq m, 0 \leq j \leq n$ ) 이제 차수  $(m, n)$ 의 베지어 곡면을 다음과 같이 표기한다:

$$\begin{aligned} \mathbf{R}^m \mathbf{S}^n(u, v) &\equiv \mathbf{x}^{m,n}(u, v) \\ &= \sum_{i=0}^m \sum_{j=0}^n \mathbf{r}_i^m \mathbf{s}_j^n \cdot B_i^m(u) \cdot B_j^n(v) \end{aligned} \quad (23)$$

두 정수  $m$ 과  $n$ 은 텐서곱 곡면의  $u$ 와  $v$  방향으로의 차수를 각각 나타낸다. 이 표기법을 이용하여 주어진 베지어 곡면에 놓인 베지어 곡선을 림과 팬으로 분해하여 보기로 한다.

주어진 제어망의  $j$ 번째 행의 제어점  $\{\mathbf{r}_0^m \mathbf{s}_j^n, \dots, \mathbf{r}_m^m \mathbf{s}_j^n\}$ 으로 정의되는 베지어 곡선을 다음과 같이 표현한다:  $\mathbf{R}^m \mathbf{S}_j^n(u) \equiv \sum_{i=0}^m \mathbf{r}_i^m \mathbf{s}_j^n \cdot B_i^m(u)$ . 유사하게,  $i$ 번째

열의 제어점  $\{\mathbf{r}_i^m \mathbf{s}_0^n, \dots, \mathbf{r}_i^m \mathbf{s}_n^n\}$ 로 정의되는 베지어 곡선을 다음과 같이 표현한다:  $\mathbf{R}_i^m \mathbf{S}^n(v) \equiv \sum_{j=0}^n \mathbf{r}_i^m \mathbf{s}_j^n \cdot B_j^n(v)$ .

따라서, 식 (23)을 다음과 같이 전개할 수 있다:

$$\begin{aligned} \mathbf{R}^m \mathbf{S}^n(u, v) &\equiv \sum_{i=0}^m \sum_{j=0}^n \mathbf{r}_i^m \mathbf{s}_j^n \cdot B_i^m(u) \cdot B_j^n(v) \\ &= \sum_{j=0}^n \mathbf{R}^m \mathbf{S}_j^n(u) \cdot B_j^n(v) = \sum_{j=0}^n \mathbf{R}_i^m \mathbf{S}^n(v) \cdot B_i^m(u) \end{aligned} \quad (24)$$

곡선  $\mathbf{R}^m \mathbf{S}_j^n(u)$ 의 립과 팬을 각각  $\mathbf{R}^{m-1} \mathbf{S}_j^n(u)$ 과  $\mathbf{F}^{m-2} \mathbf{S}_j^n(u)$ 으로 표기할 때, 정리 1에 따르면 곡선  $\mathbf{R}^m \mathbf{S}_j^n(u)$ 을 다음과 같이 분해할 수 있다:

$$\mathbf{R}^m \mathbf{S}_j^n(u) = \mathbf{R}^{m-1} \mathbf{S}_j^n(u) + 2u(1-u) \mathbf{F}^{m-2} \mathbf{S}_j^n(u) \quad (25)$$

식 (5)에 따라, 립  $\mathbf{R}^{m-1} \mathbf{S}_j^n(u)$ 의 제어점은 립  $\mathbf{R}^m \mathbf{S}_j^n(u)$ 의 제어점으로 다음과 같이 표현된다. 단,  $0 \leq i \leq m-1$ .

$$\mathbf{r}_i^{m-1} \mathbf{s}_j^n = \frac{1}{(m-1)} ((m-1-i) \mathbf{r}_i^m \mathbf{s}_j^n + i \mathbf{r}_{i+1}^m \mathbf{s}_j^n) \quad (26)$$

$(0 \leq i \leq m-1)$

식 (7)에 의해 팬  $\mathbf{F}^{m-2} \mathbf{S}_j^n(u)$ 의 제어벡터는 다음과 같이 표현된다:

$$\mathbf{f}_i^{m-2} \mathbf{s}_j^n = \mathbf{r}_{i+1}^m \mathbf{s}_j^n - \frac{1}{2} (\mathbf{r}_i^m \mathbf{s}_j^n + \mathbf{r}_{i+2}^m \mathbf{s}_j^n) \quad (27)$$

$(0 \leq i \leq m-2)$

위와 같은 새로운 표기법의 특징은 분해와 제어점 변환 과정에서 독립적인 부분이 변화 없이 유지된다는 점이다. 예를 들어, 식 (25)에서  $\mathbf{S}_j^n$ 는  $u$  방향으로의 분해에 대해 불변이다. 식 (26)-(27)에서  $\mathbf{s}_j^n$  역시  $u$  방향으로의 제어점 변환에서 불변이다.

곡선  $\mathbf{R}_i^m \mathbf{S}^n(v)$ 의 립과 팬을 각각  $\mathbf{R}_i^{m-1} \mathbf{S}^n(v)$ 과  $\mathbf{R}_i^{m-2} \mathbf{G}^n(v)$ 으로 표기할 때, 식 (25)와 유사하게 다음과 같은 분해가 가능하다:

$$\mathbf{R}_i^m \mathbf{S}^n(v) = \mathbf{R}_i^{m-1} \mathbf{S}^n(v) + 2v(1-v) \mathbf{R}_i^{m-2} \mathbf{G}^n(v) \quad (28)$$

립의 제어점과 팬의 제어벡터는 식 (26)-(27)와 유사하게 다음과 같이 정의된다:

$$\mathbf{r}_i^{m-1} \mathbf{s}_j^n = \frac{1}{(n-1)} ((n-1-j) \mathbf{r}_i^m \mathbf{s}_j^n + j \mathbf{r}_{i+1}^m \mathbf{s}_j^n) \quad (29)$$

$(0 \leq j \leq n-1)$

$$\mathbf{r}_i^{m-2} \mathbf{g}_j^n = \mathbf{r}_i^m \mathbf{s}_{j+1}^n - \frac{1}{2} (\mathbf{r}_i^m \mathbf{s}_j^n + \mathbf{r}_{i+2}^m \mathbf{s}_j^n) \quad (30)$$

$(0 \leq j \leq n-2)$

### 2.3.2 제어점의 이중변환

2.3.1절에서는 특정 매개변수 방향(예를 들어  $u$  또는  $v$ )으로의 제어점의 립 변환에 대해서 살펴보았다. 하지만, 제어점 변환은 한번 변환이 된 결과에 대

해서도 매개변수 방향에 상관없이 연속적으로 적용될 수 있다. 특히, 우리는 텐서곱 곡면에 대해서 립과 팬을 유도하기 위해 아래와 같은 네 가지 타입의 이중 변환을 살펴보아야 한다:

$$\{\mathbf{r}_i^m \mathbf{s}_j^n\} \xrightarrow{\text{rib}} \{\mathbf{r}_i^{m-1} \mathbf{s}_j^n\} \xrightarrow{\text{rib}} \{\mathbf{r}_i^{m-1} \mathbf{s}_j^{n-1}\} \quad (31)$$

$$\{\mathbf{r}_i^m \mathbf{s}_j^n\} \xrightarrow{\text{rib}} \{\mathbf{r}_i^{m-1} \mathbf{s}_j^n\} \xrightarrow{\text{fan}} \{\mathbf{r}_i^{m-1} \mathbf{g}_j^{n-2}\} \quad (32)$$

$$\{\mathbf{r}_i^m \mathbf{s}_j^n\} \xrightarrow{\text{fan}} \{\mathbf{f}_i^{m-2} \mathbf{s}_j^n\} \xrightarrow{\text{rib}} \{\mathbf{f}_i^{m-2} \mathbf{s}_j^{n-1}\} \quad (33)$$

$$\{\mathbf{r}_i^m \mathbf{s}_j^n\} \xrightarrow{\text{fan}} \{\mathbf{f}_i^{m-2} \mathbf{s}_j^n\} \xrightarrow{\text{fan}} \{\mathbf{f}_i^{m-2} \mathbf{s}_j^{n-2}\} \quad (34)$$

위의 변환에서 각 화살표는 하위 차수로의 제어점 변환을 의미한다. 각 변환의 타입과 방향은 각각 화살표 위와 아래에 명기되어 있다(예를 들어, 식 (31)은 주어진 제어점을 처음에  $u$  방향으로 립 변환을 하고 다음에  $v$  방향으로 팬 변환을 하는 과정을 나타낸다). 위의 변환에서 순서는 결과에 영향을 미치지 않는다. 위의 식 (31)-(34)에서 첫 번째 변환의 결과는 곡면의 립의 제어점이고, 나머지는 서로 다른 세 개의 팬의 제어벡터를 의미하고 있다. 식 (31)과 같은 변환의 예는 식 (29)를 식 (26)에 적용하는 것이다. 식 (27)와 (29), 식 (26)와 (30), 식 (27)와 (30)을 결합하여 각각 식 (32), 식 (33), 식 (34)의 결과를 얻을 수 있다. 위의 네 가지 이중변환에 대한 명시적인 표현을 다음 절에서 설명하기로 한다.

### 2.3.3 립과 제어점

주어진 베지어 곡면  $\mathbf{R}^m \mathbf{S}^n(u, v)$ 에 대해서, 하위 차수  $(k, l)$ 의 립 제어점  $\{\mathbf{r}_i^k \mathbf{s}_j^l\}$ 을 다음과 같이 정의한다:

$$\mathbf{r}_i^k \mathbf{s}_j^l = \frac{(l-j)}{kl} ((k-i) \mathbf{r}_i^{k+1} \mathbf{s}_j^{l+1} + i \mathbf{r}_{i+1}^{k+1} \mathbf{s}_j^{l+1}) + \frac{j}{kl} ((k-i) \mathbf{r}_i^{k+1} \mathbf{s}_{j+1}^{l+1} + i \mathbf{r}_{i+1}^{k+1} \mathbf{s}_{j+1}^{l+1}) \quad (35)$$

위 식은  $1 \leq k < n, 1 \leq l < m$ 일 때 성립하며,  $k=n, l=m$ 인 경우는  $\mathbf{r}_i^k \mathbf{s}_j^l = \mathbf{h}_{i,j}$ 이다. 위 식에서 곡면의 립 제어점은 상위 차수의 인접한 네 개의 제어점으로 정의됨을 알 수 있다. (식 (35)는 이중변환 식 (31)을 이용하여 유도할 수 있다.)

립  $\mathbf{R}^k \mathbf{S}^l(u, v)$ 은 식 (35)의 제어점으로 정의되는 특별한 베지어 곡면이다. 어떠한 하위 차수의 립에서도, 립의 네 모서리는 주어진 베지어 곡면의 네 모서

리와 일치한다. 즉 다음의 관계가 성립한다:  $\{\mathbf{r}_0^k \mathbf{s}_0^l, = \mathbf{b}_{0,0}, \mathbf{r}_k^k \mathbf{s}_0^l = \mathbf{b}_{m,0}, \mathbf{r}_0^k \mathbf{s}_l^l = \mathbf{b}_{0,m}, \mathbf{r}_k^k \mathbf{s}_l^l = \mathbf{b}_{m,n}\}$ . 따라서 가장 하위 차수의 림  $\mathbf{R}^1 \mathbf{S}^1(u, v)$  은 이중 선직면(doubly ruled surface) 또는 쌍곡포물면(hyperbolic paraboloid) 임을 알 수 있다.

### 2.3.4 팬과 제어벡터

이중변환 식 (32), (33), (34)을 이용한 텐서곱 곡면의 팬 제어벡터를 다음과 같이 표현할 수 있다:

$$\begin{aligned} \mathbf{f}_i^k \mathbf{g}_j^l &= \frac{(l-j)}{l} \left( \mathbf{r}_{i+1}^{k+2} \mathbf{s}_{j+1}^{l+1} - \frac{1}{2} (\mathbf{r}_i^{k+2} \mathbf{s}_j^{l+1} + \mathbf{r}_{i+2}^{k+2} \mathbf{s}_{j+1}^{l+1}) \right) \\ &+ \frac{j}{i} \left( \mathbf{r}_{i+1}^{k+2} \mathbf{s}_{j+1}^{l+1} - \frac{1}{2} (\mathbf{r}_i^{k+2} \mathbf{s}_{j+1}^{l+1} + \mathbf{r}_{i+2}^{k+2} \mathbf{s}_{j+1}^{l+1}) \right) \end{aligned} \quad (36)$$

$$\begin{aligned} \mathbf{r}_i^k \mathbf{g}_j^l &= \frac{(k-i)}{k} \left( \mathbf{r}_{i+1}^{k+1} \mathbf{s}_{j+2}^{l+2} - \frac{1}{2} (\mathbf{r}_i^{k+1} \mathbf{s}_j^{l+2} + \mathbf{r}_{i+1}^{k+1} \mathbf{s}_{j+2}^{l+2}) \right) \\ &+ \frac{i}{k} \left( \mathbf{r}_{i+1}^{k+1} \mathbf{s}_{j+1}^{l+2} - \frac{1}{2} (\mathbf{r}_{i+1}^{k+1} \mathbf{s}_j^{l+2} + \mathbf{r}_{i+1}^{k+1} \mathbf{s}_{j+2}^{l+2}) \right) \end{aligned} \quad (37)$$

$$\begin{aligned} \mathbf{f}_i^k \mathbf{g}_j^l &= \left( \mathbf{r}_{i+1}^{k+2} \mathbf{s}_{j+1}^{l+2} - \frac{1}{2} (\mathbf{r}_i^{k+2} \mathbf{s}_{j+1}^{l+2} + \mathbf{r}_{i+2}^{k+2} \mathbf{s}_{j+1}^{l+2}) \right) \\ &- \frac{1}{2} \left( \mathbf{r}_{i+1}^{k+2} \mathbf{s}_j^{l+2} - \frac{1}{2} (\mathbf{r}_i^{k+2} \mathbf{s}_j^{l+2} + \mathbf{r}_{i+2}^{k+2} \mathbf{s}_j^{l+2}) \right) \\ &- \frac{1}{2} \left( \mathbf{r}_{i+1}^{k+2} \mathbf{s}_{j+2}^{l+2} - \frac{1}{2} (\mathbf{r}_i^{k+2} \mathbf{s}_{j+2}^{l+2} + \mathbf{r}_{i+2}^{k+2} \mathbf{s}_{j+2}^{l+2}) \right) \end{aligned} \quad (38)$$

단, 위의 식 (36)-(38)은 다음의 인덱스에 대해서 성립한다.  $0 \leq k \leq n-2, 1 \leq l \leq m-1, 1 \leq k \leq n-1, 0 \leq l \leq m-2, 0 \leq k \leq m-2, 0 \leq l \leq n-2$ , 식 (36)-(37)에서 각 제어벡터는 상위 차수의 인접한 여섯 개의 림 제어점으로 정의된다. (인접한 제어점은 크기  $3 \times 2$  또는  $2 \times 3$  격자에 놓여 있다.) 식 (38)에서 각 제어벡터는 상위 차수의 인접한 아홉 개의 림 제어점으로 정의된다. (인접한 제어점은 크기  $3 \times 3$  격자에 놓여 있다.) 식 (36)-(38)의 각 타입의 팬 제어벡터들은 서로 다른 팬 벡터필드  $\mathbf{F}^k \mathbf{S}^l(u, v), \mathbf{R}^k \mathbf{G}^l(u, v), \mathbf{F}^k \mathbf{G}^l(u, v)$  를 텐서곱 형식으로 정의한다. 다음 절에서의 표기상의 편의를 위해 위의 세 가지 팬 벡터를 크기 조절하여 조합한 복합 팬(composite fan)을 다음과 같이 표기한다:

$$\begin{aligned} \Phi^k \Gamma^l(u, v) &\equiv 2u(1-u) \mathbf{F}^k \mathbf{S}^{l+1}(u, v) \\ &+ 2v(1-v) \mathbf{R}^{k+1} \mathbf{G}^l(u, v) \\ &+ 4uv(1-u)(1-v) \mathbf{F}^k \mathbf{G}^l(u, v) \end{aligned} \quad (39)$$

### 2.3.5 베지어 곡면의 림과 팬

이 절에서는 베지어 곡면을 림과 팬으로 분해하는

방법을 설명한다. 특히, 2.3.3절과 2.3.4절에서 소개된 식 (35)- (39)을 이용하여 림과 팬이 표현됨을 보인다.

**Theorem 2.** (베지어 곡면의 림과 팬)  $m, n \geq 2$  일 때, 차수  $(m, n)$  의 베지어 곡면  $\mathbf{R}^m \mathbf{S}^n(u, v)$  은 림  $\mathbf{R}^{m-1} \mathbf{S}^{n-1}(u, v)$  과 세 개의 팬,  $\mathbf{R}^{m-1} \mathbf{G}^{n-2}(u, v)$ ,  $\mathbf{F}^{m-2} \mathbf{S}^{n+1}(u, v)$ ,  $\mathbf{F}^{m-2} \mathbf{G}^{n-2}(u, v)$  으로 다음과 같이 분해된다:

$$\begin{aligned} \mathbf{R}^m \mathbf{S}^n(u, v) &= \mathbf{R}^{m-1} \mathbf{S}^{n-1}(u, v) \\ &+ 2u(1-u) \mathbf{F}^{m-2} \mathbf{S}^{n-1}(u, v) \\ &+ 2v(1-v) \mathbf{R}^{m-1} \mathbf{G}^{n-2}(u, v) \\ &= \mathbf{R}^{m-1} \mathbf{S}^{n-1}(u, v) + \Phi^{m-2} \Gamma^{n-2}(u, v) \end{aligned} \quad (40)$$

**증명:** 식 (40)의 성립은 정리 1의 베지어 곡선에 대한 림과 팬 분해를  $u$ 와  $v$  방향으로 순차적으로 적용함으로써 보일 수 있다. 먼저  $u$ 를 어떤 값  $u_0$ 로 고정시키고 얻은 베지어 곡선  $\mathbf{R}^m \mathbf{S}^n(u_0, v)$ 을 식 (24)-(25)를 이용하여 다음과 같이 분해할 수 있다:

$$\begin{aligned} \mathbf{R}^m \mathbf{S}^n(u_0, v) &= \sum_{j=0}^n \mathbf{R}^m \mathbf{S}_j^n(u_0) \cdot B_j^n(v) \\ &= \sum_{j=0}^n (\mathbf{R}^{m-1} \mathbf{S}_j^n(u_0) + 2u_0(1-u_0) \mathbf{F}^{m-2} \mathbf{S}_j^n(u_0)) \cdot B_j^n(v) \\ &= \left( \sum_{j=0}^n \mathbf{R}^{m-1} \mathbf{S}_j^n(u_0) \cdot B_j^n(v) \right) \\ &+ \left( 2u_0(1-u_0) \sum_{j=0}^n \mathbf{F}^{m-2} \mathbf{S}_j^n(u_0) \cdot B_j^n(v) \right) \\ &= \mathbf{R}^{m-1} \mathbf{S}^n(u_0, v) + 2u_0(1-u_0) \mathbf{F}^{m-2} \mathbf{S}^n(u_0, v) \end{aligned} \quad (41)$$

식 (41)은  $u$ 의 값에 상관없이 성립하므로 다음과 같이 표현할 수 있다:

$$\mathbf{R}^m \mathbf{S}^n(u, v) = \mathbf{R}^{m-1} \mathbf{S}^n(u, v) + 2u(1-u) \mathbf{F}^{m-2} \mathbf{S}^n(u, v) \quad (42)$$

이번에는  $v$ 의 값을  $v_0$ 로 고정하고 식 (42)를 다음과 같이 표현할 수 있다:

$$\begin{aligned} \mathbf{R}^m \mathbf{S}^n(u, v_0) &= \mathbf{R}^{m-1} \mathbf{S}^n(u, v_0) + 2u(1-u) \mathbf{F}^{m-2} \mathbf{S}^n(u, v_0) \\ &= \left( \sum_{i=0}^{m-1} \mathbf{R}_i^{m-1} \mathbf{S}^n(v_0) \cdot B_i^{m-1}(u) \right) \\ &+ 2u(1-u) \left( \sum_{i=0}^{m-2} \mathbf{F}_i^{m-2} \mathbf{S}^n(v_0) \cdot B_i^{m-2}(u) \right) \end{aligned} \quad (43)$$

식 (43)의  $\mathbf{F}_i^{m-2} \mathbf{S}^n(v_0)$ 는 제어망  $\{\mathbf{f}_i^{m-2} \mathbf{s}_j^n\}$ 의  $i$ 번

제 열로 정의되는 벡터이다. 식 (43)의 우항의 첫 번째 괄호 안의 식은 식 (28)을 이용하여 다음과 같이 분해할 수 있다:

$$\begin{aligned} & \sum_{i=0}^{m-1} \mathbf{R}_i^{m-1} \mathbf{S}^n(v_0) \cdot B_i^{m-1}(u) \\ &= \sum_{i=0}^{m-1} (\mathbf{R}_i^{m-1} \mathbf{S}^{n-1}(v_0) + 2v_0(1-v_0)\mathbf{R}_i^{m-1} \mathbf{G}^{n-2}(v_0)) B_i^{m-1}(u) \\ &= \left( \sum_{i=0}^{m-1} \mathbf{R}_i^{m-1} \mathbf{S}^{n-1}(v_0) \cdot B_i^{m-1}(u) \right) \\ &+ 2v_0(1-v_0) \left( \sum_{i=0}^{m-1} \mathbf{R}_i^{m-1} \mathbf{G}^{n-2}(v_0) \cdot B_i^{m-1}(u) \right) \\ &= \mathbf{R}^{m-1} \mathbf{S}^{n-1}(u, v_0) + 2v_0(1-v_0) \mathbf{R}^{m-1} \mathbf{G}^{n-2}(u, v_0) \quad (44) \end{aligned}$$

식 (43)의 우항의 두 번째 괄호 안의 식을 다음과 같이 분해할 수 있다:

$$\begin{aligned} & \sum_{i=0}^{m-2} \mathbf{F}_i^{m-2} \mathbf{S}^n(v_0) \cdot B_i^{m-2}(u) \\ &= \sum_{i=0}^{m-2} (\mathbf{F}_i^{m-2} \mathbf{S}^{n-1}(v_0) + 2v_0(1-v_0)\mathbf{F}_i^{m-2} \mathbf{G}^{n-2}(v_0)) B_i^{m-2}(u) \\ &= \left( \sum_{i=0}^{m-2} \mathbf{F}_i^{m-2} \mathbf{S}^{n-1}(v_0) \cdot B_i^{m-2}(u) \right) \end{aligned}$$

$$\begin{aligned} & + 2v_0(1-v_0) \left( \sum_{i=0}^{m-2} \mathbf{F}_i^{m-2} \mathbf{G}^{n-2}(v_0) \cdot B_i^{m-2}(u) \right) \\ &= \mathbf{F}^{m-2} \mathbf{S}^{n-1}(u, v_0) + 2v_0(1-v_0) \mathbf{F}^{m-2} \mathbf{G}^{n-2}(u, v_0) \quad (45) \end{aligned}$$

식 (44)-(45)을 식 (43)에 대입하고 들로 대체하여 식 (40)을 얻을 수 있다. **Q.E.D.**

정리 2로부터 다음의 따름정리를 쉽게 유도할 수 있다(자세한 과정은 생략하기로 한다).

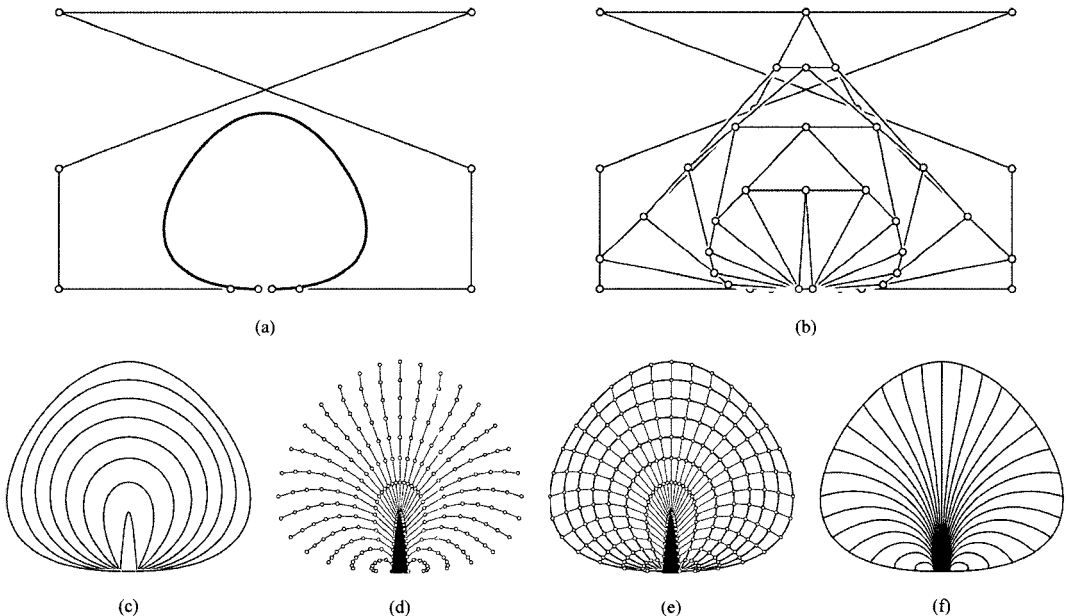
**Corollary 2.** 차수  $m, n \geq 2$  의 베지어 곡면  $\mathbf{R}^m \mathbf{S}^n(u, v)$  을 차수  $(m-k, n-k)$  의 립 한 개와 일련의  $k$  개의 복합 팬으로 다음과 같이 분해할 수 있다:

$$\begin{aligned} \mathbf{R}^m \mathbf{S}^n(u, v) &= \mathbf{R}^{m-k} \mathbf{S}^{n-k}(u, v) \\ &+ \sum_{i=1}^k \Phi^{m-1-k} \Gamma^{n-1-k}(u, v) \quad (46) \end{aligned}$$

단,  $1 \leq k \leq \text{MIN}(m, n) - 1$

### 3. 디자인 예제

이 절에서는 본 논문에서 제시된 립과 팬 이론을 바탕으로 디자인된 몇 가지 예제들을 보여준다(자세한 설명은 각 그림 하단에 설명되어 있다). Fig. 3과



**Fig. 3.** 부채모양의 9차 베지어 곡선: (a) 주어진 곡선  $C^6(t) = \mathbf{R}^9(t)$ 과 직선으로 연결된 제어점들; (b) 일련의 립들의 제어점. (차수가 낮을수록 붉은 색); (c) (b)의 립 제어점으로 정의되는 립들; (d) 일련의 팬들에서 샘플링된 팬 선분들; (e) 그림 (c)와 (d)를 겹쳐 놓은 모습; (f) (d)의 팬 라인을 제어점으로 하는 팬 곡선들.



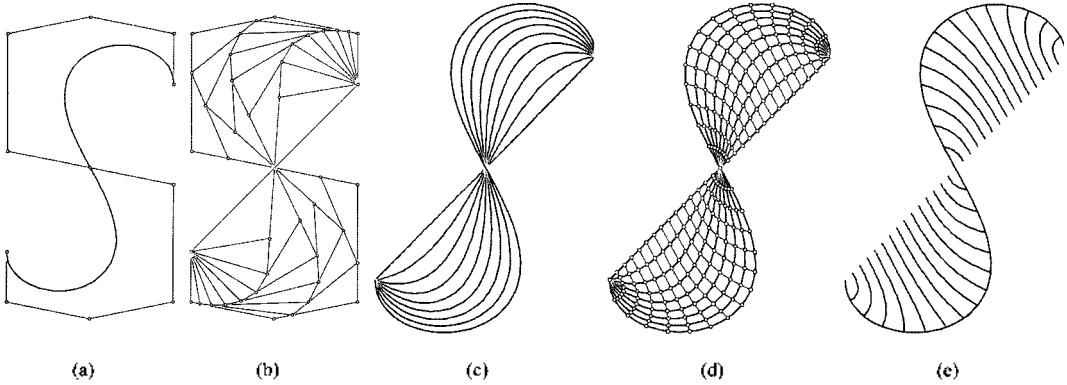


Fig. 4. S자 모양의 베지어 곡선.  $C^{10}(t) = R^{10}(t)$ : (a) 주어진 곡선과 제어점; (b) 립 제어점들; (c) 립들 (두개의 최하위 립은 곡선의 대칭성으로 인해 겹쳐 보인다. 따라서 (c)에서 10개가 아닌 9개의 립이 보인다.); (d) 립과 팬라인들 (e) 팬곡선들

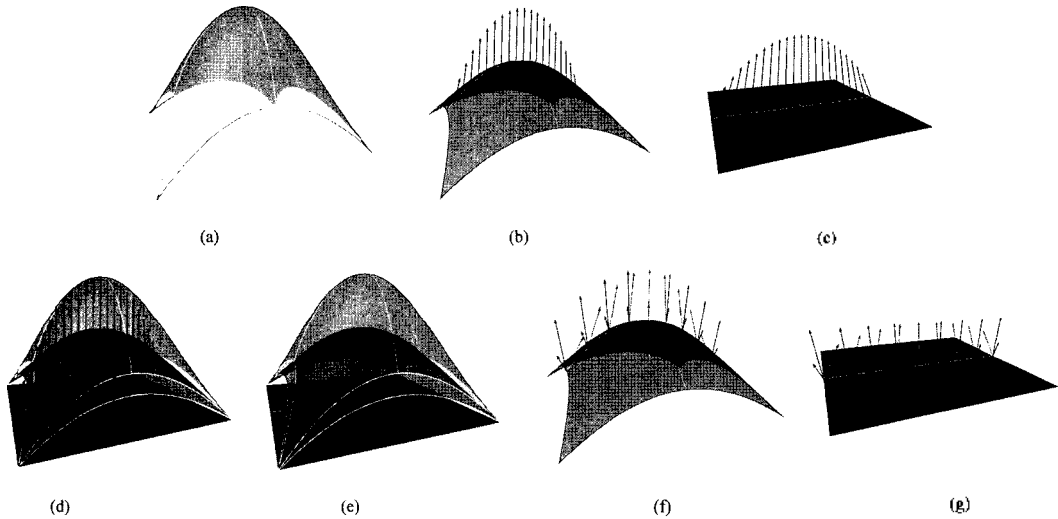


Fig. 5. 베지어 곡선  $x^{3,3}(u, v) = R^3S^3(u, v)$ : (a) 주어진 곡면. 흰색 곡선은  $u=0.5$ 와  $v=0.5$ 에서의; (b) 립  $R^2S^2(u, v)$ 과 복합 팬  $\Phi^1G^1(u, 0.5)$ 의 샘플 벡터들; (c) 립  $R^1S^1(u, v)$ 과 복합팬  $\Phi^0G^0(u, 0.5)$ 의 샘플 벡터들; (d) 립과 팬을 포함한 그림 (a), (b), (c)의 겹침; (e) 립과 팬을 포함하지 않은 그림 (a), (b), (c)의 겹침; (f) 립  $R^2S^2(u, v)$ 과 세 가지 팬들  $F^1S^1(u, 0.5)$ ,  $R^2G^1(u, 0.5)$ ,  $F^1G^1(u, 0.5)$ . (각 직색, 녹색, 청색); (g) 립  $R^1S^1(u, 0.5)$ 과 세 가지 팬들  $F^0S^1(u, 0.5)$ ,  $R^1G^0(u, 0.5)$ ,  $F^0G^0(u, 0.5)$ .

4는 각각 9차와 10차 베지어 곡선에 대해서 전형적인 립과 팬의 패턴을 보여준다. Fig. 5는 차수 (3,3)의 간단한 베지어 곡면에 대한 립과 팬의 예를 보여준다. (더 많은 디자인 예제들을 온라인상에서 볼 수 있다.<sup>6)</sup>).

### 4. 결 어

본 논문에서는 베지어 곡선과 곡면의 립과 팬에 대한 기하학적인 개념을 제시하였다. 즉, 차수  $n$ 의 베지어 곡선을 차수  $(n-1)$ 의 립과 차수  $(n-2)$ 의 팬으로 분해할 수 있고, 차수  $(m, n)$ 의 베지어 곡면을 차수

$(m-1, n-1)$ 의 립과 차수  $(m-1, n-2)$ ,  $(m-2, n-1)$ ,  $(m-2, n-2)$ 의 세 개의 팬으로 분해할 수 있음을 보였다. 또한, 주어진 베지어 곡선과 곡면의 제어점을 립과 팬의 제어점과 제어벡터로 변환하는 방법을 설명하였다. 제시된 디자인 예에 따르면 생성된 립과 팬은 주어진 곡선과 곡면과 유사한 패턴을 보임을 알 수 있다. 따라서, 제시된 디자인 예제와 유사한 효과가 필요한 기하 디자인 응용에서 립과 팬 분해를 이용할 수 있다.

립과 팬은 주어진 베지어 곡선이나 곡면의 전체 (global) 제어점을 이용하여 정의되기 때문에, NURBS

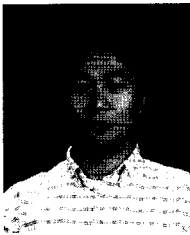
와 같은 조각적(piecewise) 곡선이나 곡면에 직접 적용하는 데는 한계가 있다. 예를 들어, 한 조각의 곡선이나 곡면 단위로 본 논문에서 제시한 립과 팬 분해를 적용한다면 불연속적인 립과 팬이 생성되는데, 이런 결과는 바람직하지 않은 결과일 수 있다. 따라서, B-spline이나 NURBS 등으로 립과 팬 이론을 확장하는 것이 추후 연구 주제가 될 것이다.

### 감사의 글

본 연구는 정보통신부가 지원하는 2004년 “URC시법 사업을 위한 인프라 시스템 개발” 및 2004년 “협업적 제품거래 기술개발” 과제를 통해 일부 지원되었습니다.

### 참고문헌

1. Farin, G., *Curves and Surfaces for CAGD—A Practical Guide*, 5th Ed., Morgan Kaufmann, San Francisco, CA, 2002.
2. Farin, G. and Hansford, D., *The Essentials of CAGD*, A K Peters, Natick, MA, 2000.
3. Farouki, R. and Rajan, V., “Algorithms for Polynomials in Bernstein Form”, *Computer Aided Geometric Design*, Vol. 5, No. 1, pp. 1-26, 1988.
4. Hoschek, J. and Lasser, D., *Fundamentals of Computer Aided Geometric Design*, A K Peters, Natick, MA, 1993.
5. Macromedia Flash MX, <http://www.macromedia.com/devnet/devices/>, Macromedia, Inc.
6. *Design Examples of Ribs and Fans*, <http://joo-haeng.etri.re.kr/GeoLix/BezierRibFan>.



#### 이 주 행

1994년 포항공과대학교 전자계산학과 학사  
 1996년 포항공과대학교 전자계산학과 석사  
 1999년 포항공과대학교 전자계산학과 박사  
 1999년~현재 한국전자통신연구원 디지털 콘텐츠연구단 선임연구원

관심분야: Geometric modeling and processing algorithms for computer graphics, CAD, and robotics; Biology-inspired computing for aesthetic, scientific and engineering applications



#### 박 형 준

1991년 포항공과대학교 산업공학과 학사  
 1993년 포항공과대학교 산업공학과 석사  
 1996년 포항공과대학교 산업공학과 박사  
 1996년~2001년 삼성전자 중앙연구소 책임연구원  
 2001년~현재 조선대학교 산업공학과 조교수

관심분야: Geometric Modeling and Processing, Virtual Prototyping of Engineered Products, 3D Shape Construction and Understanding, Reverse Engineering, CAD/CAM/CG Applications